



数字信号处理

任课教师: 田春娜 (博士)

单位: 西安电子科技大学电子工程学院

Email: chnatian@xidian.edu.cn

chnatian@gmail.com

参考书籍



- 高新波, 阔永红, 田春娜. 数字信号处理. 高等教育出版社, 2014.
- 史林, 赵树杰. 数字信号处理. 科学出版社. 2007.
- Alan V. Oppenheim, Ronald W. Schaffer. Discrete-Time Signal Processing. 电子工业出版社, 2011.
- 高西全, 丁玉美. 数字信号处理及其习题解答. 西电出版社, 2008.
- Vinay K. Ingle, John G. Proakis. Digital Signal Processing Using MATLAB®. Northeastern University, 1996.

引言



- ◆ 离散线性时不变系统的差分方程:

$$y(n) = \sum_{i=0}^M b_i x(n-i) - \sum_{k=1}^N a_k y(n-k) \quad (7.0.1)$$

- ◆ 其系统函数可表示为:

$$H(z) = \frac{\sum_{i=0}^M b_i z^{-i}}{1 + \sum_{k=1}^N a_k z^{-k}} \quad (7.0.2)$$

- ◆ 当 $N \geq 1$, a_k 中至少有一个非零系数时, 该系统系统中存在反馈回路, 其所对应的滤波器称作**无限长脉冲响应(IIR)滤波器**
- ◆ 当 a_k 均为零系数时, 其所对应的滤波器称作**有限长脉冲响应(FIR)滤波器**

引言

◆ IIR滤波器

- 可利用模拟滤波器的成熟理论
- 主要对滤波器的幅频响应特性进行逼近，其相频响应特性是非线性的
- 为得到线性相位特性，对IIR滤波器必须另加相位校正网络，使滤波器设计变得复杂，成本也高，又难以得到严格的线性相位特性



引言



◆ 滤波器不发生相位失真的方法有两个

- 滤波器的频率响应是实的，即滤波器具有**零相位特性**，此时输出与输入之间只存在增益的差别

零相位滤波器

- 设计一个实的因果的零相位滤波器，往往比较困难；常用的零相位滤波器往往是非因果的，它不能用于实时信号处理

线性相位滤波器

- 滤波器具有**线性相位特性**，FIR滤波器的最大特点是可以把它设计成具有线性相位的滤波器

引言

◆ FIR滤波器

滤波器的单位脉冲响应 $h(n)$ 是有限长序列, $N-1$ 阶FIR数字滤波器的系统函数为

$$H(z) = \sum_{n=0}^{N-1} h(n)z^{-n}$$

- 保证满足幅度特性
- 容易做到严格的线性相位
- $H(z)$ 是 z^{-1} 的 $N-1$ 次多项式, z 平面有 $N-1$ 个零点, $z=0$ 是 $(N-1)$ 阶重极点, 因此永远稳定
- 稳定和线性相位特性是FIR滤波器最突出的优点





第7章 FIR数字滤波器的设计

◆ 7.1 线性相位FIR滤波器的条件及特点

- 7.1.1 线性相位FIR滤波器
- 7.1.2 线性相位条件
- 7.1.3 线性相位FIR滤波器幅度特性
- 7.1.4 线性相位FIR滤波器零点分布

◆ 7.2 FIR滤波器的窗函数设计法

- 7.2.1 窗函数设计法的原理
- 7.2.2 典型窗函数及其特性
- 7.2.3 窗函数法设计FIR滤波器步骤

◆ 7.3 FIR滤波器的频率采样设计法

- 7.3.1 FIR滤波器频率采样法的原理
- 7.3.2 频率采样法的逼近误差分析



7.1.1 线性相位FIR滤波器

对于长度为 N 的 $h(n)$ ，频率响应函数为

$$\begin{aligned} H(e^{j\omega}) &= \sum_{n=0}^{N-1} h(n)e^{-j\omega n} \\ &= H_g(\omega)e^{j\theta(\omega)} \end{aligned} \quad (7.1.1)$$

式中， $H_g(\omega)$ 为**幅度特性**，为 ω 的实函数，可能取负值，不同于 $|H(e^{j\omega})|$

$\theta(\omega)$ 为**相位特性**



第7章 FIR数字滤波器的设计

◆ 7.1 线性相位FIR滤波器的条件及特点

- 7.1.1 线性相位FIR滤波器
- 7.1.2 线性相位条件
- 7.1.3 线性相位FIR滤波器幅度特性
- 7.1.4 线性相位FIR滤波器零点分布

◆ 7.2 FIR滤波器的窗函数设计法

- 7.2.1 窗函数设计法的原理
- 7.2.2 典型窗函数及其特性
- 7.2.3 窗函数法设计FIR滤波器步骤

◆ 7.3 FIR滤波器的频率采样设计法

- 7.3.1 FIR滤波器频率采样法的原理
- 7.3.2 频率采样法的逼近误差分析



7.1.2 线性相位条件

$H(e^{j\omega})$ 线性相位是指 $\theta(\omega)$ 是 ω 的线性函数，即

第一类线性相位
或严格线性相位

$$\theta(\omega) = -\tau\omega, \tau \text{ 为常数} \quad (7.1.2)$$

如果 $\theta(\omega)$ 满足下式：

第二类线性相位
或广义线性相位

$$\theta(\omega) = \theta_0 - \tau\omega, \theta_0 \text{ 是初始相位} \quad (7.1.3)$$

严格地说，此时 $\theta(\omega)$ 不具有线性相位，但以上两种情况都满足群时延是一个常数，即

$$-\frac{d\theta(\omega)}{d\omega} = \tau$$



7.1.2 线性相位条件

◆为了使滤波器对实信号的处理结果仍是实信号，一般要求 $h(n)$ 为实序列

◆满足第一类线性相位的时域约束条件是：

$h(n)$ 是实序列，且对 $(N-1)/2$ 偶对称，即

$$\tau = (N-1)/2 \quad h(n) = h(N-n-1) \quad (7.1.4)$$

◆满足第二类线性相位的时域约束条件是：

$h(n)$ 是实序列，且对 $(N-1)/2$ 奇对称，即

$$\tau = (N-1)/2 \quad h(n) = -h(N-n-1) \quad (7.1.5)$$



第7章 FIR数字滤波器的设计

◆ 7.1 线性相位FIR滤波器的条件及特点

- 7.1.1 线性相位FIR滤波器
- 7.1.2 线性相位条件
- 7.1.3 线性相位FIR滤波器幅度特性
- 7.1.4 线性相位FIR滤波器零点分布

◆ 7.2 FIR滤波器的窗函数设计法

- 7.2.1 窗函数设计法的原理
- 7.2.2 典型窗函数及其特性
- 7.2.3 窗函数法设计FIR滤波器步骤

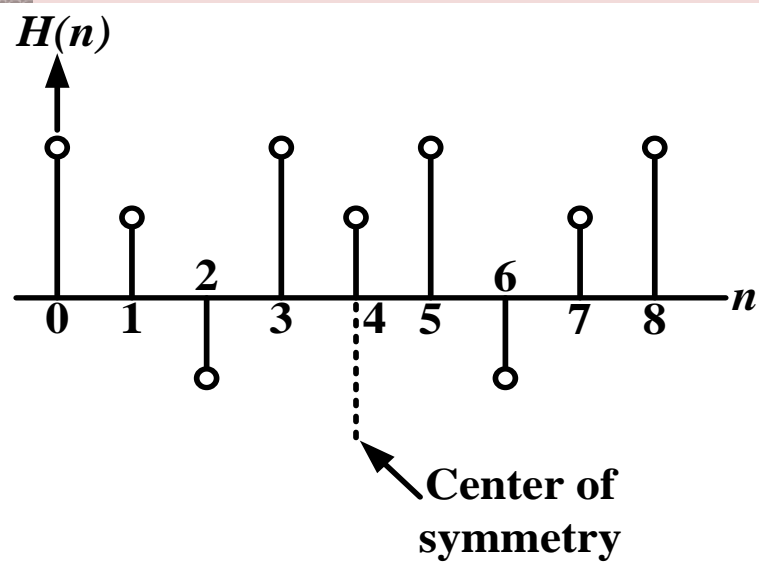
◆ 7.3 FIR滤波器的频率采样设计法

- 7.3.1 FIR滤波器频率采样法的原理
- 7.3.2 频率采样法的逼近误差分析

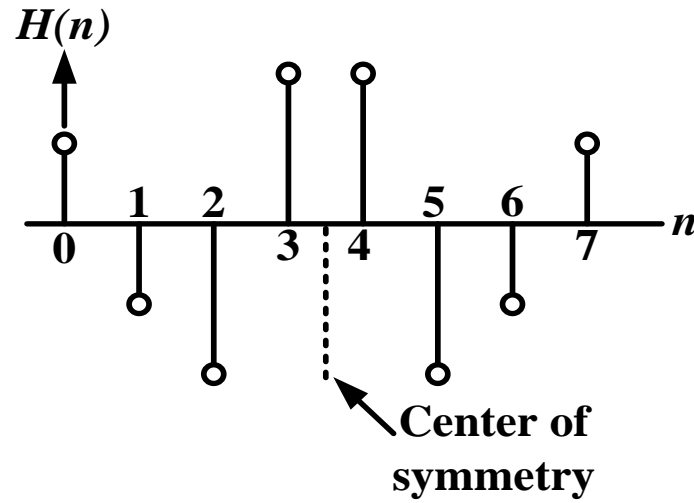


7.1.3 线性相位FIR滤波器幅度特性

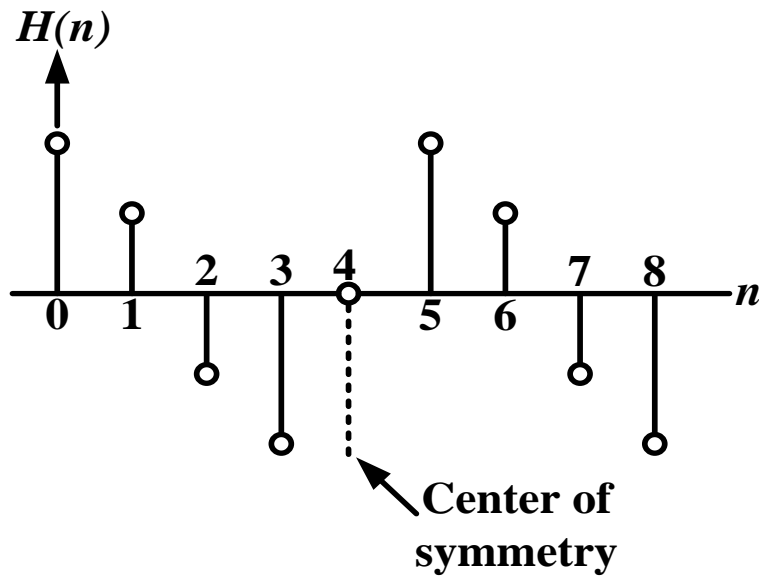
- ◆ 当 N 取奇数和偶数时，对 $H_g(w)$ 的约束不同，因此，对于两类线性相位特性，分四种情况讨论其幅度特性的特点
- ◆ 这些特点对正确设计线性相位FIR滤波器有重要的指导作用



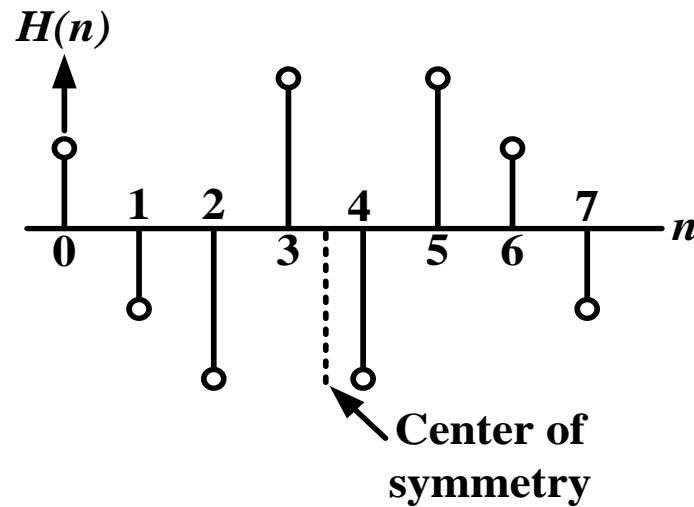
(a) Type 1, $N=9$



(b) Type 2, $N=8$



(c) Type 3, $N=9$



(d) Type 4, $N=8$

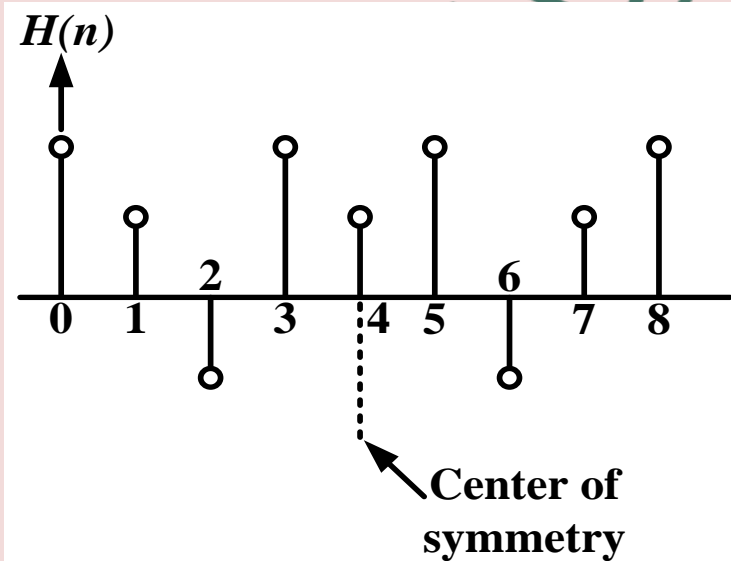
7.1.3 线性相位FIR滤波器幅度特性

类型1: $h(n)=h(N-n-1)$, $N=$ 奇数, 推导其**频率响应**:

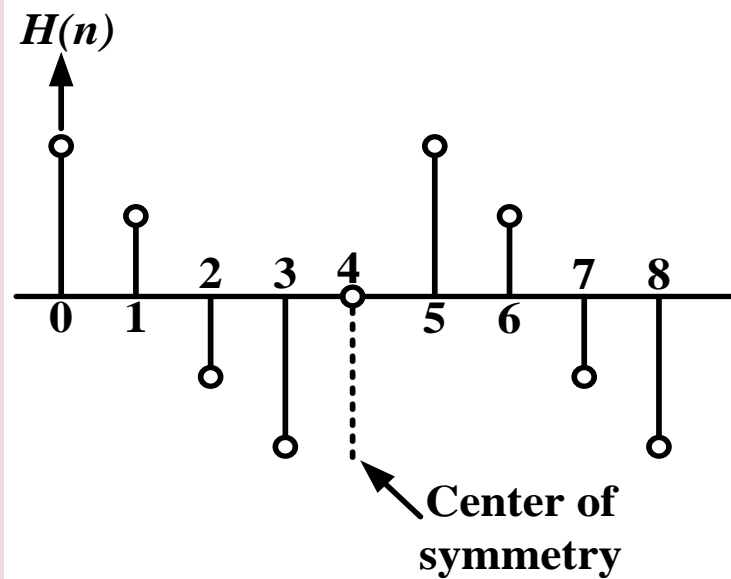
$$\begin{aligned} H(e^{j\omega}) &= \sum_{n=0}^{N-1} h(n) \cdot e^{-j\omega n} \\ &= \underbrace{\sum_{n=0}^{(N-3)/2} h(n) \cdot e^{-j\omega n}}_{\text{前}(N-1)/2} + \underbrace{h\left(\frac{N-1}{2}\right) \cdot e^{-j(N-1)\omega/2}}_{\text{中心点}} + \underbrace{\sum_{n=(N+1)/2}^{(N-1)} h(n) \cdot e^{-j\omega n}}_{\text{后}(N-1)/2} \end{aligned}$$

➤ 令 $m=N-1-n$, 有

$$H(e^{j\omega}) = \sum_{n=0}^{(N-3)/2} h(n) \cdot e^{-j\omega n} + h\left(\frac{N-1}{2}\right) \cdot e^{-j(N-1)\omega/2} + \sum_{m=0}^{(N-3)/2} h(N-1-m) \cdot e^{-j(N-1-m)\omega}$$



(a) Type 1, $N=8$



(c) Type 3, $N=8$



- ◆ 令并利用 $h(n)$ 的对称性, 有 $h(N-1-m) = h(m)$, 提取 $e^{-j(N-1)\omega/2}$ 项

$$\begin{aligned} H(e^{j\omega}) &= \sum_{n=0}^{(N-3)/2} h(n)e^{-j\omega n} + h\left(\frac{N-1}{2}\right)e^{-j(N-1)\omega/2} + \sum_{m=0}^{(N-3)/2} h(N-1-m)e^{-j(N-1-m)\omega} \\ &= e^{-j(N-1)\omega/2} \left[\sum_{m=0}^{(N-3)/2} h(m)e^{-j\omega m} e^{j(N-1)\omega/2} + \sum_{m=0}^{(N-3)/2} h(m)e^{j\omega m} e^{-j(N-1)\omega/2} + h\left(\frac{N-1}{2}\right) \right] \\ &= e^{-j(N-1)\omega/2} \left[2 \sum_{m=0}^{(N-3)/2} h(m) \cos\left[\left(\frac{N-1}{2} - m\right)\omega\right] + h\left(\frac{N-1}{2}\right) \right] \end{aligned} \quad (7.1.6)$$

再令 $m=(N-1)/2-n$, 得


$$H(e^{j\omega}) = e^{-j(N-1)\omega/2} \left\{ 2 \sum_{n=1}^{(N-1)/2} h\left(\frac{N-1}{2} - n\right) \cdot \cos(\omega n) + h\left(\frac{N-1}{2}\right) \right\}$$

7.1.3 线性相位FIR滤波器幅度特性

$$H(e^{j\omega}) = e^{-j(N-1)\omega/2} \left\{ 2 \sum_{n=1}^{(N-1)/2} h\left(\frac{N-1}{2} - n\right) \cdot \cos(\omega n) + h\left(\frac{N-1}{2}\right) \right\}$$

令

$$a(n) = \begin{cases} h\left(\frac{N-1}{2}\right) & n = 0 \\ 2h\left(\frac{N-1}{2} - n\right) & n = 1, 2, \dots, (N-1)/2 \end{cases}$$



$$h\left(\frac{N-1}{2}\right) \cos(\omega 0)$$

则

$$H(e^{j\omega}) = e^{-j(N-1)\omega/2} \sum_{n=0}^{(N-1)/2} a(n) \cos(\omega n) \quad (7.1.7)$$

对比: $H(e^{j\omega}) = e^{j\theta(\omega)} H_g(\omega)$

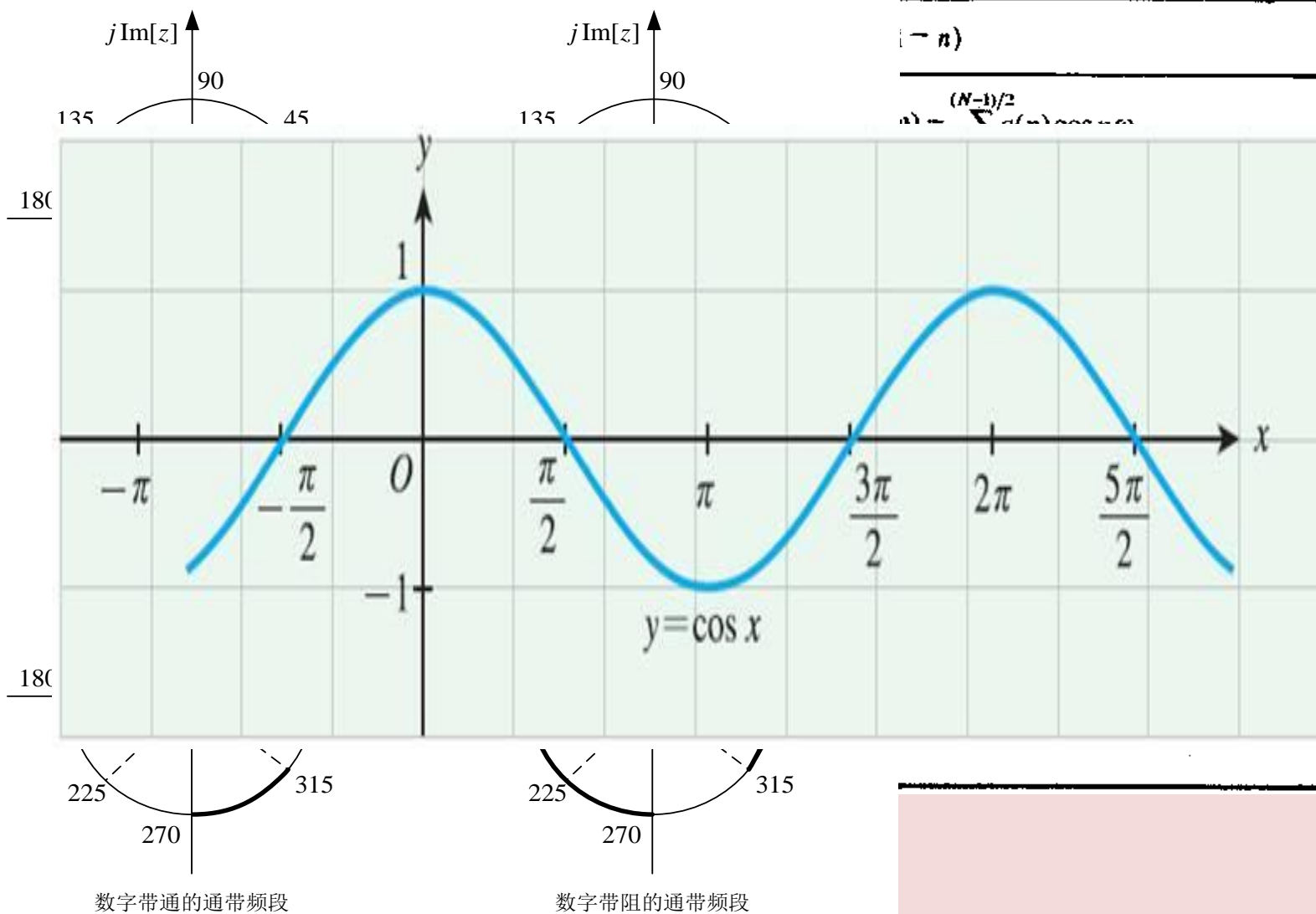
$$\theta(\omega) = -\frac{N-1}{2} \omega \quad H_g(\omega) = \sum_{n=0}^{(N-1)/2} a(n) \cos(\omega n)$$

(7.1.8)

线性相位

(7.1.9)



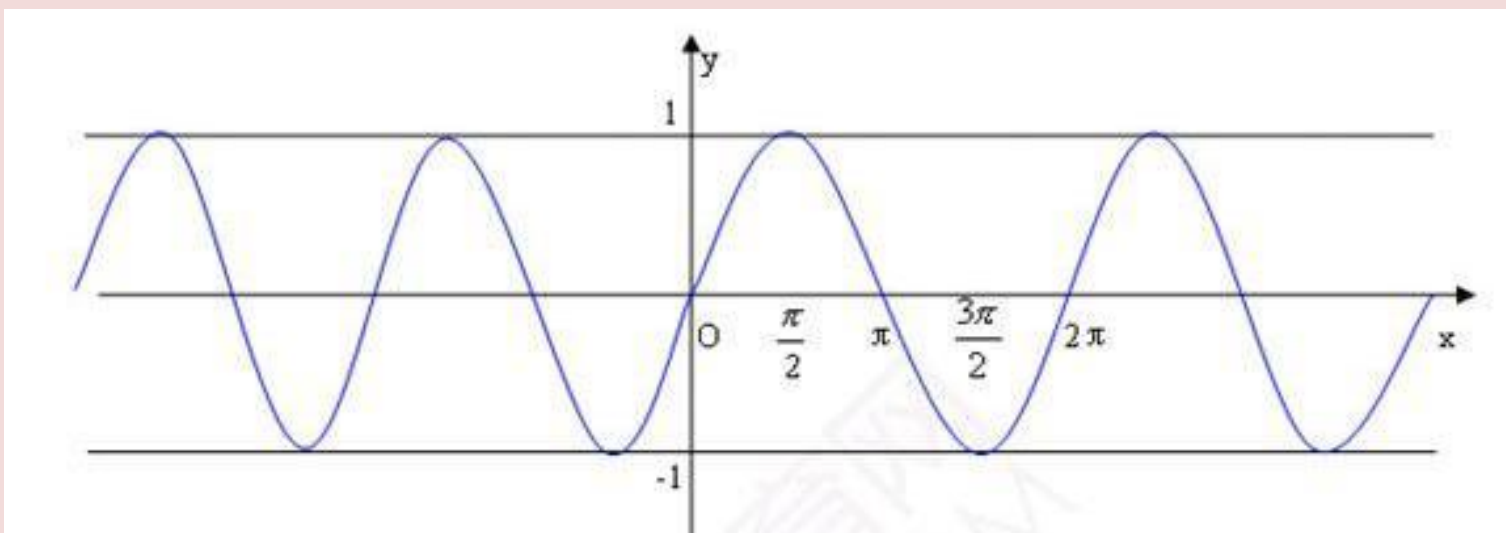


由于式中 $\cos\omega n$ 项对 $\omega=0, \pi, 2\pi$ 皆为偶对称，因此幅度特性的特点是对 $\omega=0, \pi, 2\pi$ 是偶对称的，可用于设计各种滤波器



7.1.3 线性相位FIR滤波器幅度特性

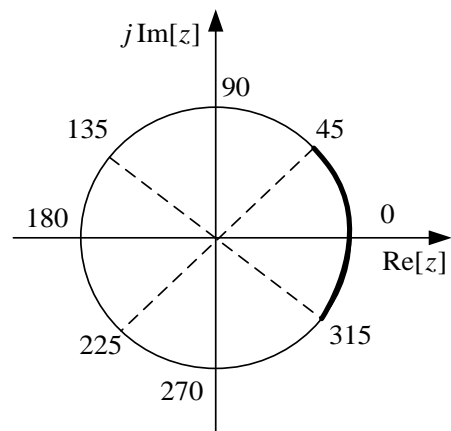
类型2: $h(n) = h(N-1-n)$, N 为偶数



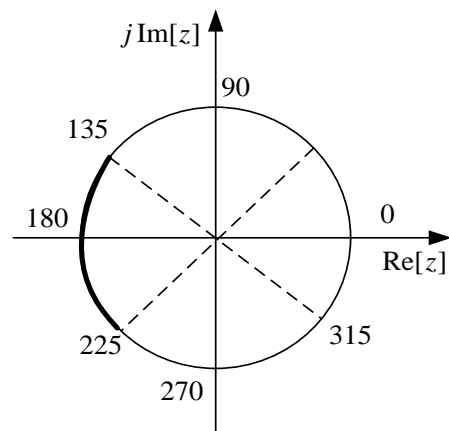
$$\cos[\omega(n-\tau)] = \cos\left[\pi\left(n - \frac{N}{2}\right) + \frac{\pi}{2}\right] = -\sin\left[\pi\left(n - \frac{N}{2}\right)\right] = 0$$

$N/2$ 为整数

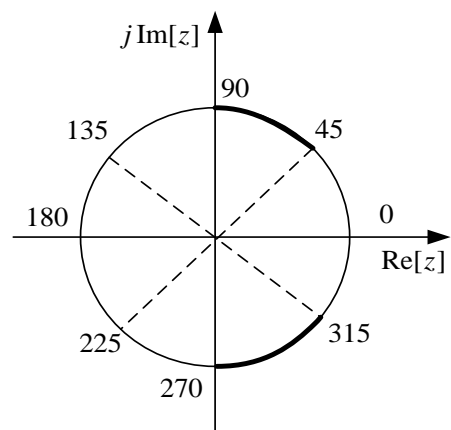
所以 $H_g(\pi) = 0$ ，说明 $H_g(\omega)$ 关于 $\omega = \pi$ 奇对称，当 $\omega = 2\pi$ 时， $H_g(\omega)$ 关于 $\omega = 0$ 和 $\omega = 2\pi$ 偶对称



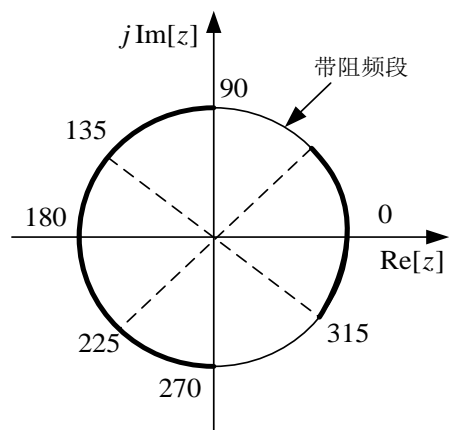
数字低通的通带频段



数字高通的通带频段



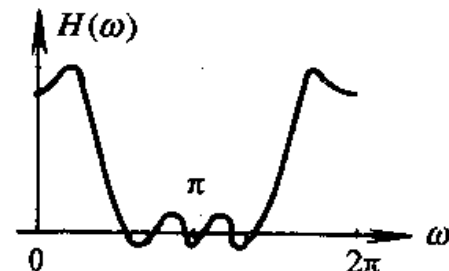
数字带通的通带频段



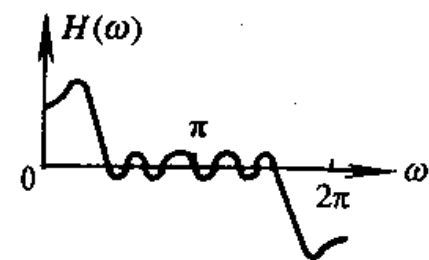
数字带阻的通带频段

$$h(N-1-n)$$

$$H_g(\omega) = \sum_{n=0}^{(N-1)/2} a(n) \cos n\omega$$



$$H_g(\omega) = \sum_{n=0}^{(N-1)/2} 2h(n) \cos[\omega(n-\tau)]$$



$H_g(\omega)$ 关于 $\omega = \pi$ 奇对称, 当 $\omega = 2\pi$ 时, $H_g(\omega)$ 关于 $\omega = 0$ 和 $\omega = 2\pi$ 偶对称, 因此 类型2不能实现高通和带阻滤波器

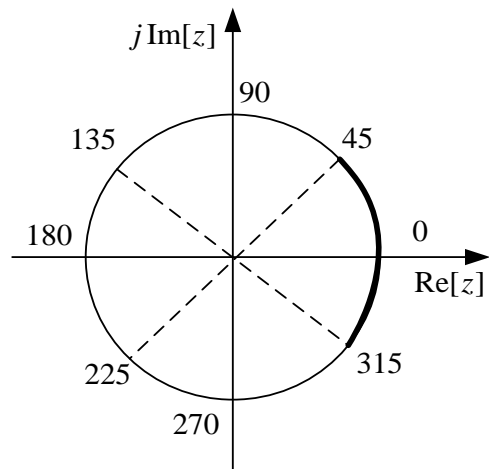


7.1.3 线性相位FIR滤波器幅度特性

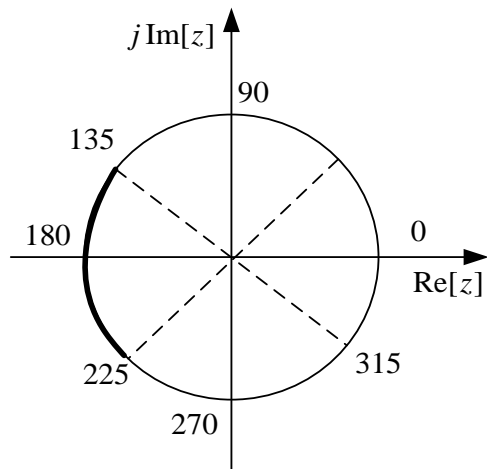
类型3: $h(n) = -h(N-1-n)$, N 为奇数

$$H_g(\omega) = \sum_{n=0}^{(N-1)/2} 2h(n) \sin[\omega(n-\tau)]$$

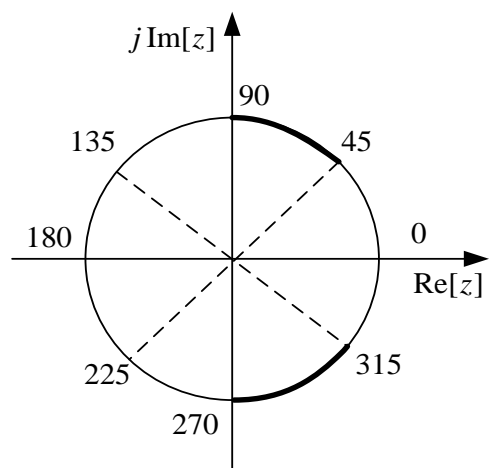
式中, N 为奇数, $\tau = (N-1)/2$ 是整数, 说明 $H_g(\omega)$ 关于 $\omega = 0$ 、 $\omega = \pi$ 和 $\omega = 2\pi$ 奇对称, 因此类型3只能用来实现带通滤波器



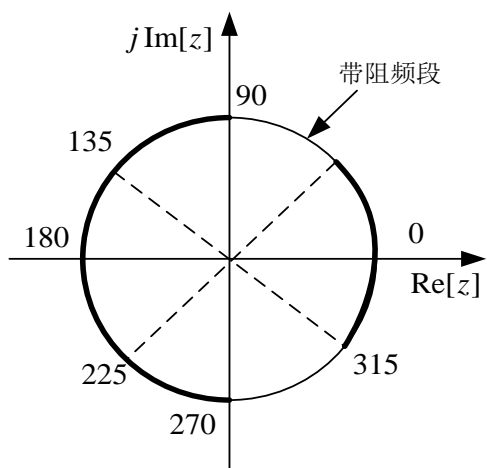
数字低通的通带频段



数字高通的通带频段

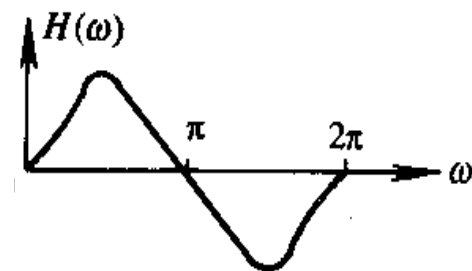


数字带通的通带频段

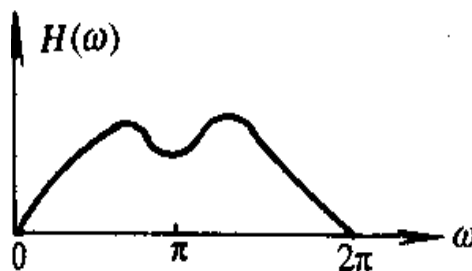


数字带阻的通带频段

$$H(\omega) = \sum_{n=0}^{(N-1)/2} 2h(n) \sin[\omega(n-\tau)]$$



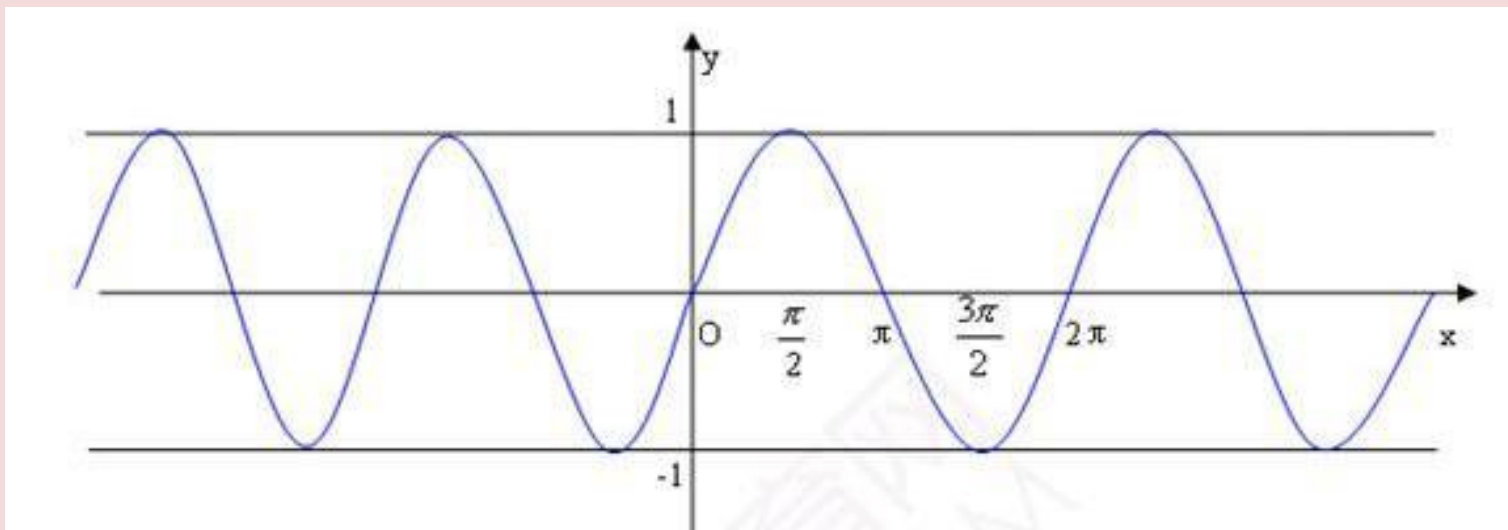
$$H(\omega) = \sum_{n=0}^{(N-1)/2} 2h(n) \sin[\omega(n-\tau)]$$



$H_g(\omega)$ 关于 $\omega = 0$ 、 $\omega = \pi$ 和 $\omega = 2\pi$ 奇对称，因此类型

3只能用来实现带通滤波器

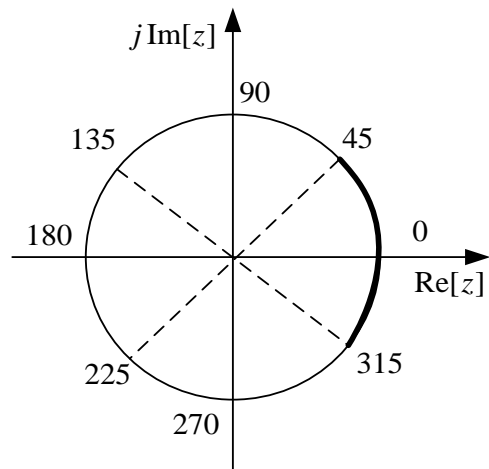
7.1.3 线性相位FIR滤波器幅度特性



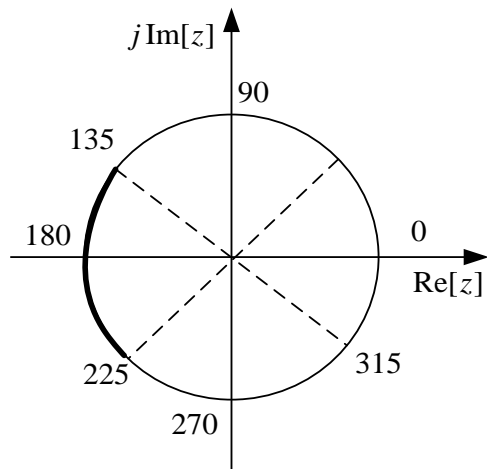
当 $\omega = 0$ 和 $\omega = 2\pi$ 时, $\sin[\omega(n-\tau)] = 0$

当 $\omega = \pi$ 时, $\sin[\omega(n-\tau)] = (-1)^{n-N/2}$, 取得最大值

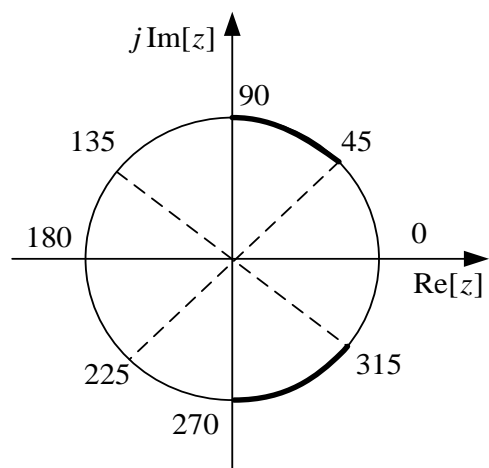
说明 $H_g(\omega)$ 关于 $\omega = 0$ 和 $\omega = 2\pi$ 奇对称, 关于 $\omega = \pi$ 偶对称, 因此类型4不能用来实现低通和带阻滤波器



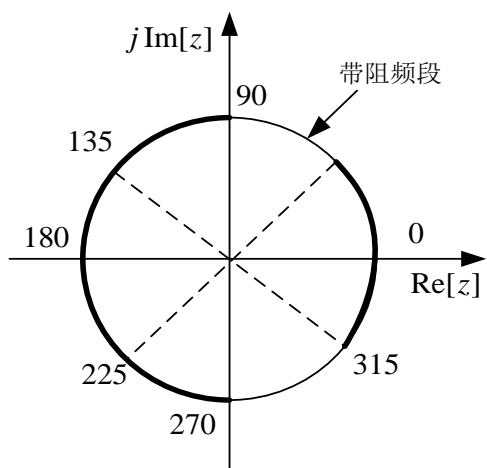
数字低通的通带频段



数字高通的通带频段

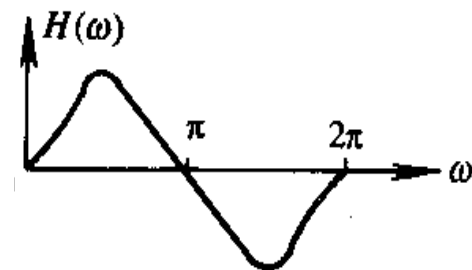


数字带通的通带频段

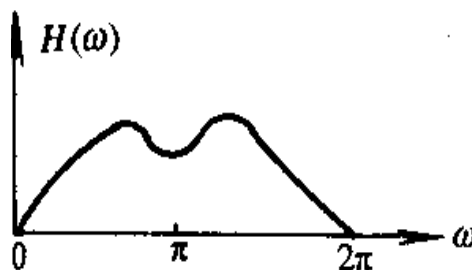


数字带阻的通带频段

$$H(\omega) = \sum_{n=0}^{(N-1)/2} 2h(n) \sin[\omega(n-\tau)]$$



$$H(\omega) = \sum_{n=0}^{(N-1)/2} 2h(n) \sin[\omega(n-\tau)]$$



$H_g(\omega)$ 关于 $\omega = 0$ 和 $\omega = 2\pi$ 奇对称, 关于 $\omega = \pi$ 偶对称, 因此类型 4 **不能** 用来实现低通和带阻滤波器



第7章 FIR数字滤波器的设计

◆ 7.1 线性相位FIR滤波器的条件及特点

- 7.1.1 线性相位FIR滤波器
- 7.1.2 线性相位条件
- 7.1.3 线性相位FIR滤波器幅度特性
- 7.1.4 线性相位FIR滤波器零点分布

◆ 7.2 FIR滤波器的窗函数设计法

- 7.2.1 窗函数设计法的原理
- 7.2.2 典型窗函数及其特性
- 7.2.3 窗函数法设计FIR滤波器步骤

◆ 7.3 FIR滤波器的频率采样设计法

- 7.3.1 FIR滤波器频率采样法的原理
- 7.3.2 频率采样法的逼近误差分析



7.1.4 线性相位FIR滤波器零点分布

➤ 线性相位条件 $h(n) = \pm h(N-1-n)$

➤ 传输函数

$$H(z) = \sum_{n=0}^{N-1} h(n) \cdot z^{-n} = \sum_{n=0}^{N-1} \left\{ \pm h(N-1-n) \cdot z^{-n} \right\}$$

令 $m = N-1-n$

$$= \pm \sum_{m=0}^{N-1} h(m) z^{-(N-1-m)} = \pm z^{-(N-1)} \sum_{m=0}^{N-1} h(m) (z^{-1})^{-m}$$

$$= \pm z^{-(N-1)} H(z^{-1})$$

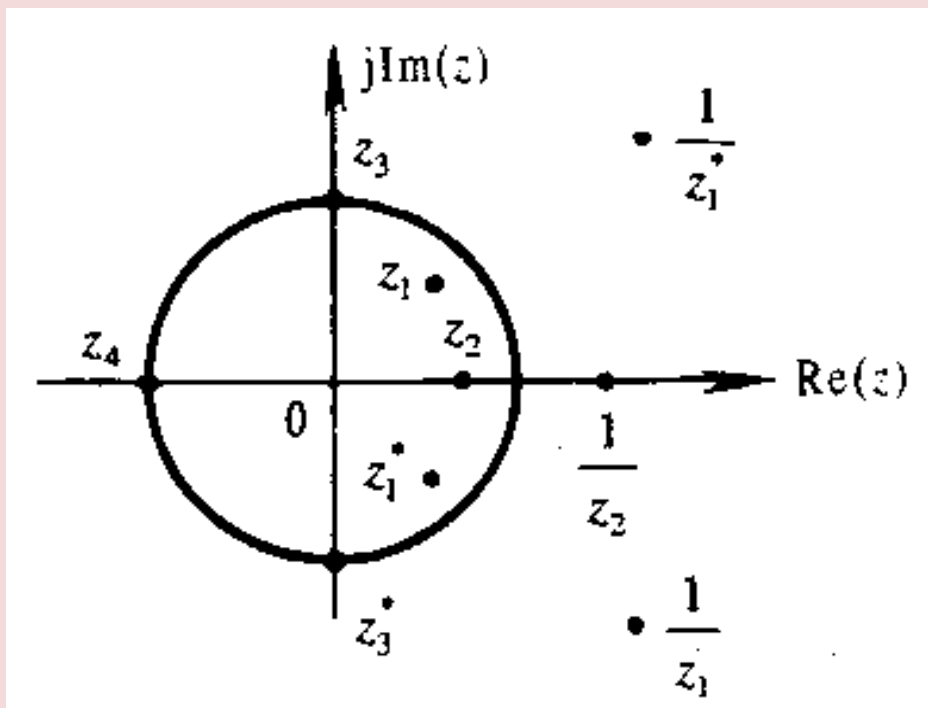
'+' 偶对称多项式
'-' 奇对称多项式



7.1.4 线性相位FIR滤波器零点分布

➤ 传输函数 $H(z) = \pm z^{-(N-1)} H(z^{-1})$

上式为实系数多项式,其零点是复共轭成对出现的,左右两边相等说明: 零点互为倒数, 即, 如果 $z = z_0$ 是零点, 那么 $z = 1/z_0$ 也是该滤波器的零点, 因此零点最多4个一组



线性相位
FIR滤波器
零点分布图



第7章 FIR数字滤波器的设计

◆ 7.1 线性相位FIR滤波器的条件及特点

- 7.1.1 线性相位FIR滤波器
- 7.1.2 线性相位条件
- 7.1.3 线性相位FIR滤波器幅度特性
- 7.1.4 线性相位FIR滤波器零点分布

◆ 7.2 FIR滤波器的窗函数设计法

- 7.2.1 窗函数设计法的原理
- 7.2.2 典型窗函数及其特性
- 7.2.3 窗函数法设计FIR滤波器步骤

◆ 7.3 FIR滤波器的频率采样设计法

- 7.3.1 FIR滤波器频率采样法的原理
- 7.3.2 频率采样法的逼近误差分析



7.2 FIR滤波器的窗函数设计法

- ◆ **FIR滤波器设计任务是选择有限长度的 $h(n)$ ，使频率响应函数 $H(e^{j\omega})$ 满足技术指标要求，可由以下方法实现**

- **窗函数法**

应用现成的窗函数公式，使滤波器单位取样响应 $h(n)$ 逼近要求的单位取样响应序列 $h_d(n)$ ，在指标要求不高时灵活方便，属于**时域逼近**

- **频率采样法**

属于**频域逼近**，通过频率采样值逼近期望滤波器，它适合于设计窄带滤波器

- **计算机辅助的优化设计法**

采用计算机辅助的优化方法，可得到最佳的等波纹的线性相位FIR滤波器



第7章 FIR数字滤波器的设计

◆ 7.1 线性相位FIR滤波器的条件及特点

- 7.1.1 线性相位FIR滤波器
- 7.1.2 线性相位条件
- 7.1.3 线性相位FIR滤波器幅度特性
- 7.1.4 线性相位FIR滤波器零点分布

◆ 7.2 FIR滤波器的窗函数设计法

- 7.2.1 窗函数设计法的原理
- 7.2.2 典型窗函数及其特性
- 7.2.3 窗函数法设计FIR滤波器步骤

◆ 7.3 FIR滤波器的频率采样设计法

- 7.3.1 FIR滤波器频率采样法的原理
- 7.3.2 频率采样法的逼近误差分析



7.2.1窗函数设计法的原理

◆ 滤波器的单位取样响应及其傅里叶变换

- 如果滤波器的单位取样响应 $h_d(n)$ 从 $-\infty$ 开始取值，那么该滤波器是**非因果**的
- 如果 $h_d(n)$ 无限长，要用FIR滤波器来实现，就必须截断无限长的序列，以得到有限长的单位取样响应 $h(n)$ ，**形象地理解为 $h(n)$ 是通过“窗口”看到的一段 $h_d(n)$**

$$H_d(e^{j\omega}) = \sum_{n=-\infty}^{\infty} h_d(n) \cdot e^{-j\omega n} \quad h_d(n) = \frac{1}{2\pi} \int_{-\pi}^{\pi} H_d(e^{j\omega}) \cdot e^{j\omega n} d\omega$$



7.2.1窗函数设计法的原理

- ◆ 为了构造一个长度为 N 的线性相位滤波器，由 $h_d(n)$ 截取 $h(n)$ 时，必须保证截取的一段对 $(N-1)/2$ 对称

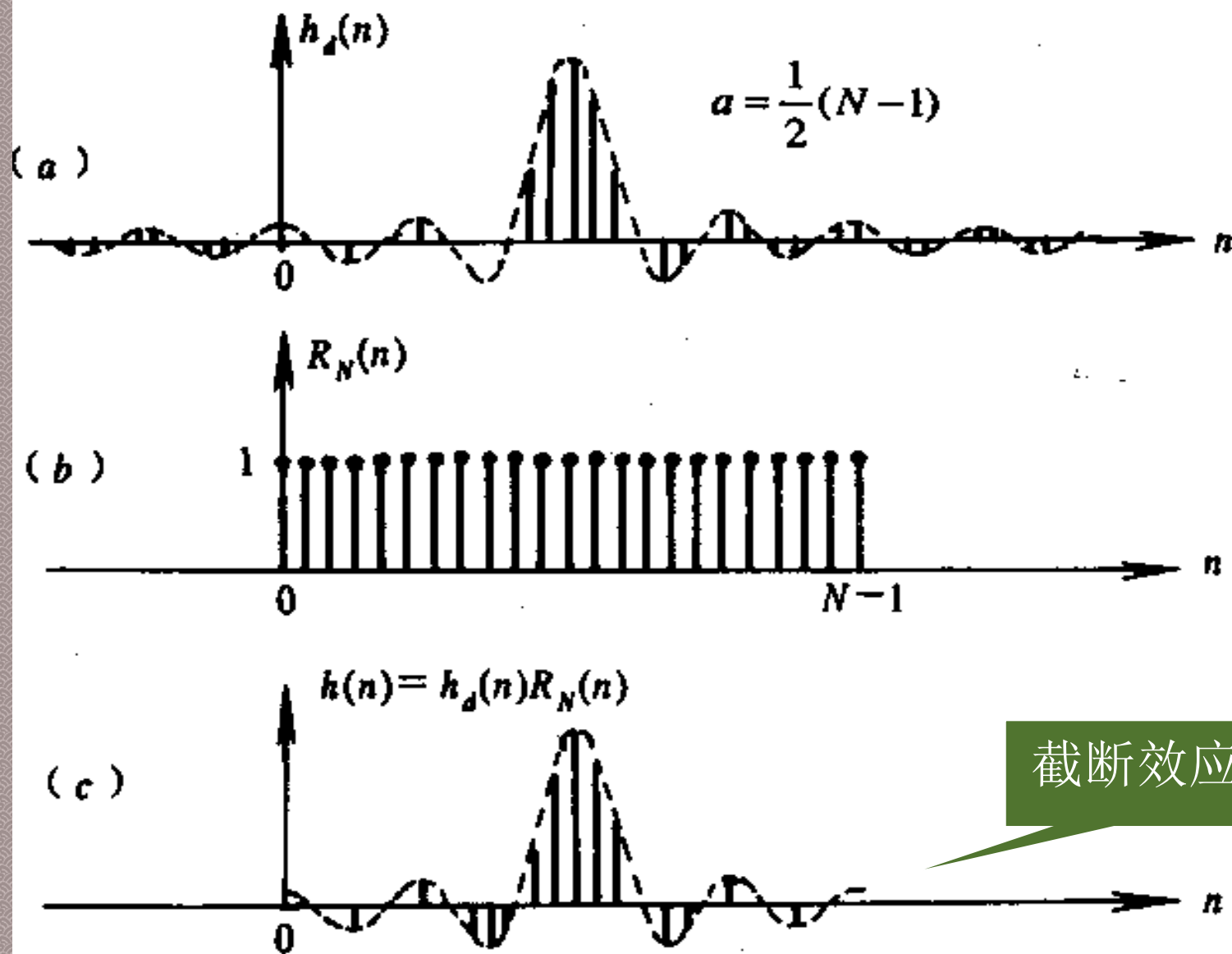
- 将 $h(n)$ 表示为 $h_d(n)$ 和窗函数 $w(n)$ 的乘积

$$h(n) = w(n) \cdot h_d(n)$$

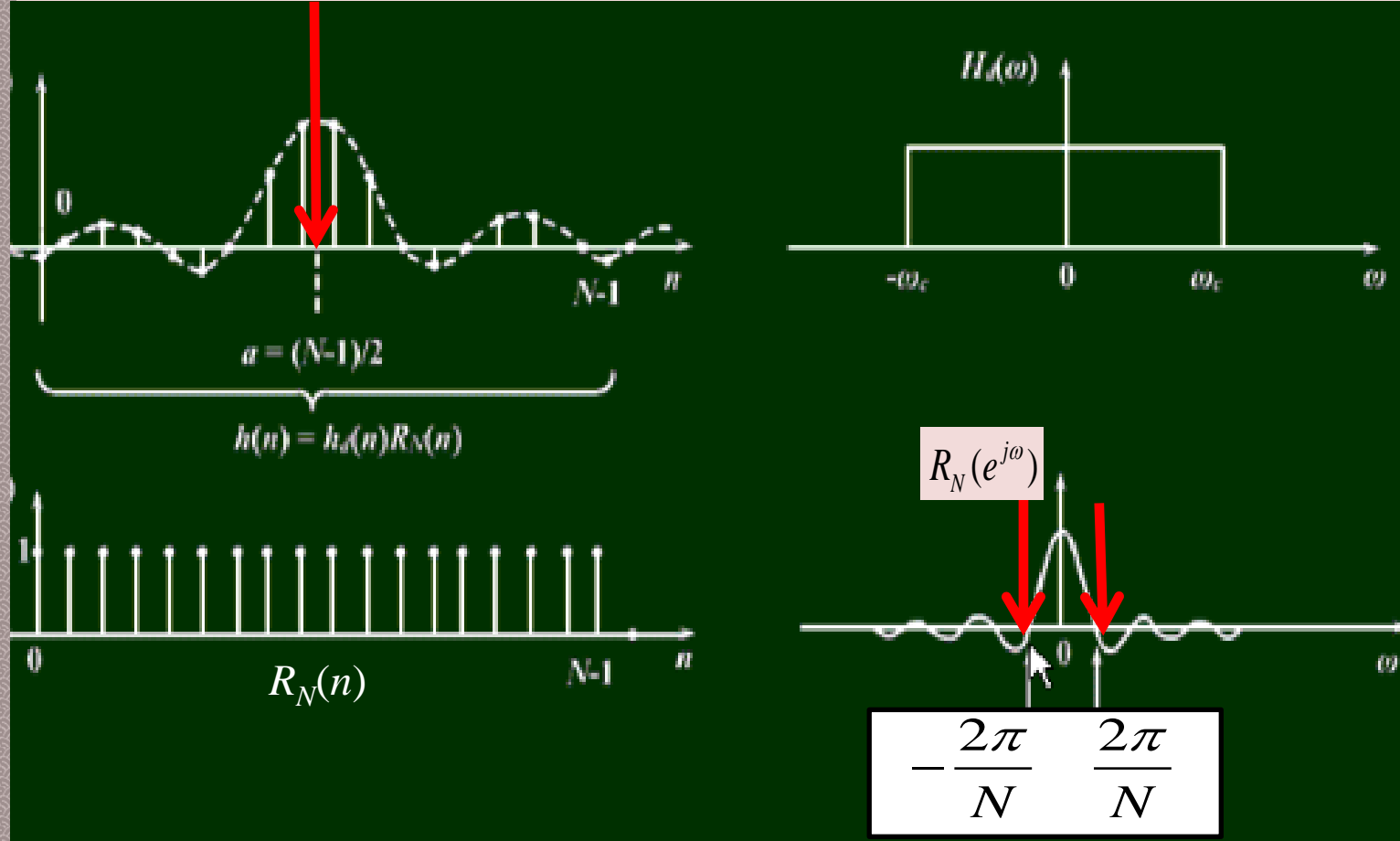
- 当 $w(n)$ 的取值区间在0至 $N-1$ 时，截断后滤波器的频率响应为有限项级数和

$$H(e^{j\omega}) = \sum_{n=0}^{(N-1)} h(n) \cdot e^{-j\omega n} = \sum_{n=-\infty}^{+\infty} w(n) \cdot h_d(n) \cdot e^{-j\omega n}$$

$H(e^{j\omega})$ 是 $H_d(e^{j\omega})$ 在均方误差最小下的最优逼近



理想低通的单位脉冲响应及矩形窗



$h(n)=h_d(n)R_N (n)$ ，对其进行傅里叶变换，根据复卷积定理，得到：

$$H(e^{j\omega}) = \frac{1}{2\pi} H_d(e^{j\omega}) * R_N(e^{j\omega}) = \int_{-\pi}^{\pi} H_d(e^{j\theta}) R_N(e^{j(\omega-\theta)}) d\theta$$



$$H(e^{j\omega}) = \frac{1}{2\pi} H_d(e^{j\omega}) * R_N(e^{j\omega}) = \int_{-\pi}^{\pi} H_d(e^{j\theta}) R_N(e^{j(\omega-\theta)}) d\theta$$

$$R_N(e^{j\omega}) = \sum_{n=0}^{N-1} R_N(n) e^{-j\omega n} = e^{-j\frac{1}{2}(N-1)\omega} \frac{\sin(\omega N / 2)}{\sin(\omega / 2)} = R_N(\omega) e^{-j\omega\tau} \quad (7.2.2)$$

其中幅度函数 $R_N(\omega) = \frac{\sin(\omega N / 2)}{\sin(\omega / 2)}, \tau = \frac{N-1}{2}$

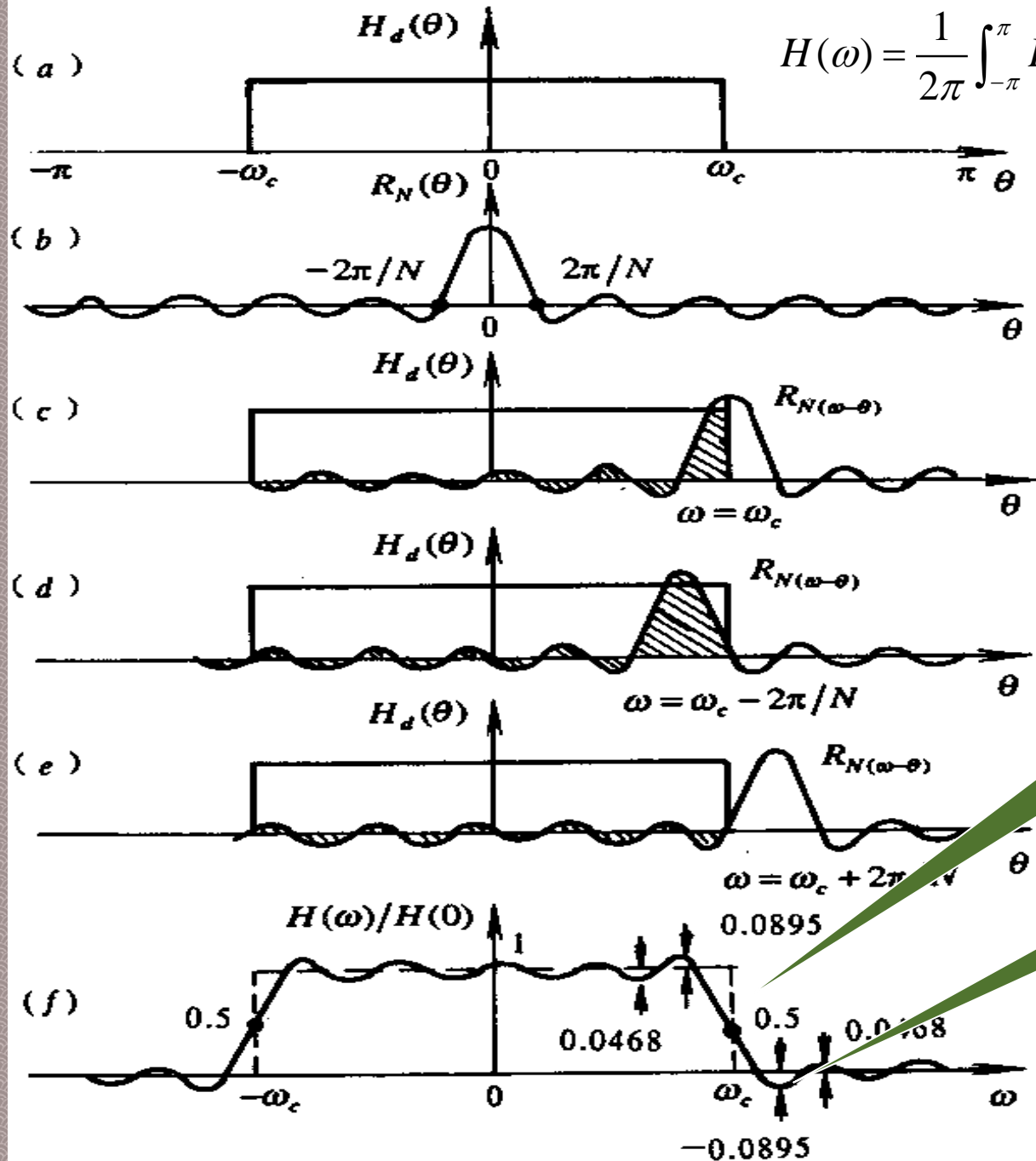
$H_d(e^{j\omega})$ 一般选择为线性相位理想低通滤波器，表示成幅度特性与相位特性函数的形式 $H_d(e^{j\omega}) = H_d(\omega) e^{-j\omega\tau}$

其中幅度函数

$$H_d(\omega) = \begin{cases} 1, & |\omega| \leq \omega_c \\ 0, & \omega_c < |\omega| \leq \pi \end{cases}$$



$$H(\omega) = \frac{1}{2\pi} \int_{-\pi}^{\pi} H_d(\theta) R_N(\omega - \theta) d\theta$$



吉布斯效应：
观察肩峰、过渡带

通带和阻带波
纹基本相同

矩形窗对理想低通幅度特性的影响



$H_d(e^{j\omega})$ 是一个以 2π 为周期的函数，可以展为傅氏级数，
即

$$H_d(e^{j\omega}) = \sum_{n=-\infty}^{\infty} h_d(n)e^{-j\omega n} \quad (7.2.3)$$

截断效应，即以有限项傅立叶级数近似替代无限项傅立叶级数，所引起的误差效果（**吉布斯效应 Gibbs**）

由于对 $h_d(n)$ 突然截短，导致实际设计的滤波器通带内出现了波纹，随着 N 的增大，波纹并不消失，波纹的振荡频率越来越高，并且从通带到阻带存在一个过渡带，这种现象称作吉布斯(Gibbs)现象



分析可知, $H(\omega)$ 和原理想低通 $H_d(\omega)$ 差别有两点

- (1)在理想特性不连续点 $\omega=\omega_c$ 附近形成过渡带。过渡带的宽度, 近似等于 $R_N(\omega)$ 主瓣宽度, 即 $4\pi/N$
- (2)通带内增加了波动, 最大的峰值在 $\omega_c-2\pi/N$ 处。阻带内产生了余振, 最大的负峰在 $\omega_c+2\pi/N$ 处

在主瓣附近, $R_N(\omega)$ 可近似为:

$$R_N(\omega) = \frac{\sin(\omega N / 2)}{\sin(\omega / 2)} \approx \frac{\sin(\omega N / 2)}{\omega / 2} = N \frac{\sin x}{x}$$

其中 $x=\omega N/2$

当 N 增大, 主、旁瓣幅度绝对值都增大, 二者的相对比例不变, 由 $\sin x/x$ 来决定, 即波形、最大肩峰都不变

对窗函数的要求



◆ 设 $h(n) = h_d(n)w(n)$ ，式中 $w(n)$ 表示窗函数

- $w(n)$ 应是**非负的实偶函数**，且 $w(n)$ 从对称中心开始应是**非递增**的。在实际工作中，需要 $w(n)$ 关于长度的中心对称，如果 $n = 0, 1, \dots, M-1$ ，要求 $w(n)$ 关于 $n = M/2$ 对称；如果 $n = -M/2, \dots, 0, \dots, M/2$ 需要 $w(n)$ 以 $n = 0$ 为对称
- 希望 $w(e^{j\omega})$ 尽可能是正的，从而保证功率谱的非负性

对窗函数的要求



- ◆ 为了保证功率谱的估计是渐近无偏的，窗函数应满足

$$w(0) = \frac{1}{2\pi} \int_{-\pi}^{\pi} W(e^{j\omega}) \cdot d\omega = 1$$

- ◆ 主瓣尽可能地窄，以获得陡峭的过渡带（窗的宽度）
- ◆ 最大的旁瓣相对于主瓣尽可能地小，即能量集中在主瓣中，以减少尖峰和余振，提高阻带的衰减
- ◆ 窗函数的时域波形平滑，与主瓣的幅度相比，旁瓣应尽可能小，以减小滤波器的通带衰减，增大阻带衰减，提高滤波器性能（窗的形状）
- ◆ 矛盾：旁瓣电平与主瓣宽度的要求不可能同时满足
- ◆ 考虑：窗口取多大？窗口取什么形状？



第7章 FIR数字滤波器的设计

◆ 7.1 线性相位FIR滤波器的条件及特点

- 7.1.1 线性相位FIR滤波器
- 7.1.2 线性相位条件
- 7.1.3 线性相位FIR滤波器幅度特性
- 7.1.4 线性相位FIR滤波器零点分布

◆ 7.2 FIR滤波器的窗函数设计法

- 7.2.1 窗函数设计法的原理
- 7.2.2 典型窗函数及其特性
- 7.2.3 窗函数法设计FIR滤波器步骤

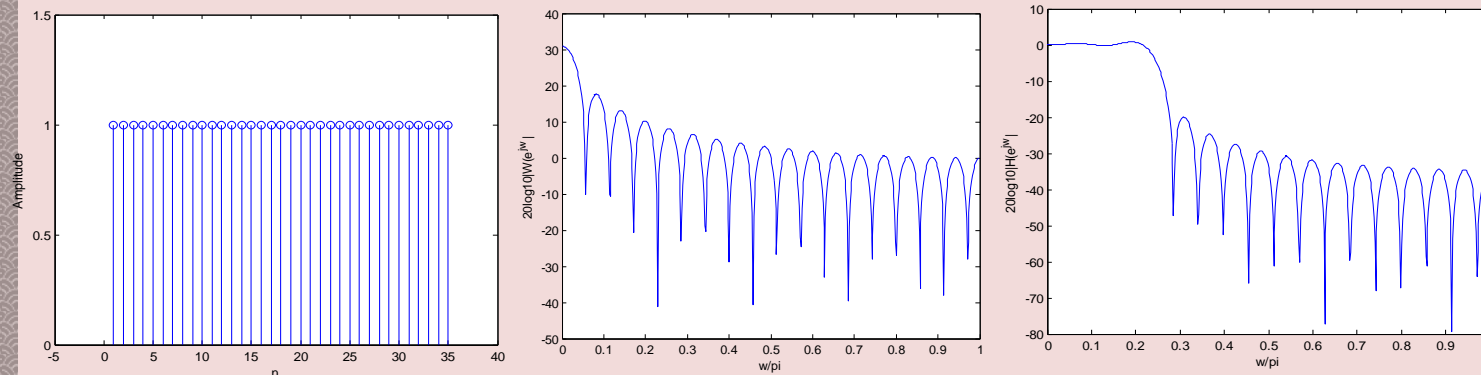
◆ 7.3 FIR滤波器的频率采样设计法

- 7.3.1 FIR滤波器频率采样法的原理
- 7.3.2 频率采样法的逼近误差分析

7.2.2 典型窗函数极其特性



◆ 矩形窗



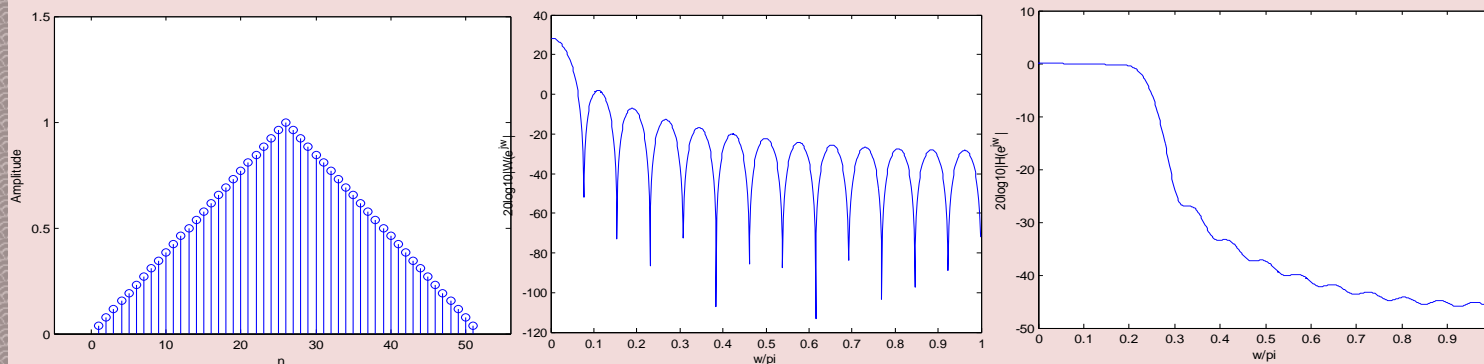
(a) 长度为35的矩形窗 (b) 矩形窗的幅度响应 (c) 数字滤波器的幅频特性

◆ 窗函数

$$w(n) = R_N(n) = \begin{cases} 1 & 0 \leq n \leq N-1 \\ 0 & \text{其它} \end{cases}$$

$$W_R(e^{j\omega}) = \sum_{n=0}^{N-1} e^{-j\omega n} = \frac{\sin(\omega N/2)}{\sin(\omega/2)} e^{-j\omega \left(\frac{N-1}{2}\right)}$$

三角窗(又称Bartlett窗)



(a)长度为51的三角窗

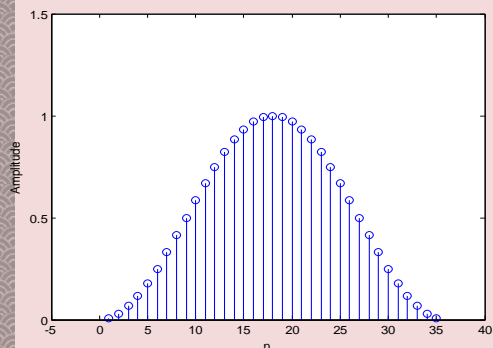
(b)三角窗的幅度响应

(c) 数字滤波器的幅频特性

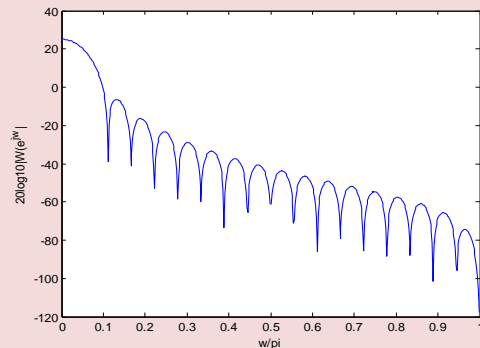
$$w(n) = \begin{cases} \frac{2n}{N} & n = 0, 1, \dots, \frac{N}{2} \\ w(N-n) & n = \frac{N}{2}, \dots, N-1 \end{cases} \quad \text{或} \quad w(n) = 1 - \frac{2|n|}{N}, \quad n = -\frac{N}{2}, \dots, 0, \dots, \frac{N}{2}$$

$$W(e^{j\omega}) = \frac{2}{N} e^{-j\left(\frac{N-1}{2}\right)\omega} \left[\frac{\sin\left(\frac{\omega N}{4}\right)}{\sin\left(\frac{\omega}{2}\right)} \right]^2$$

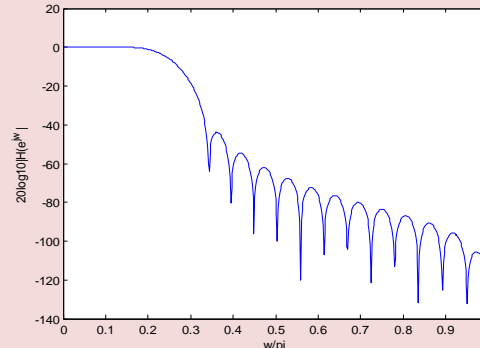
汉宁(Hanning)窗 (升余弦窗)



(a)长度为35的汉宁窗



(b)汉宁窗的幅度响应



(c)滤波器的形状

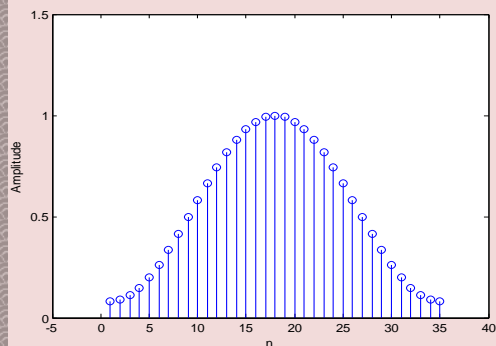
$$w(n) = 0.5 - 0.5 \cos\left(\frac{2\pi n}{N}\right), \quad n = 0, 1, \dots, N-1$$

$$\text{或 } w(n) = 0.5 + 0.5 \cos\left(\frac{2\pi n}{N}\right), \quad n = -\frac{N}{2}, \dots, 0, \dots, \frac{N}{2}$$

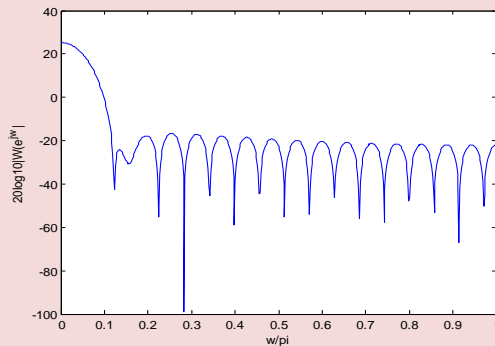
$$W(e^{j\omega}) = 0.5U(\omega) + 0.25\left[U\left(\omega - \frac{2\pi}{N}\right) + U\left(\omega + \frac{2\pi}{N}\right)\right]$$

$$\text{式中 } U(\omega) = e^{j\omega/2} \sin\left(\frac{\omega N}{2}\right) / \sin\left(\frac{\omega}{2}\right)$$

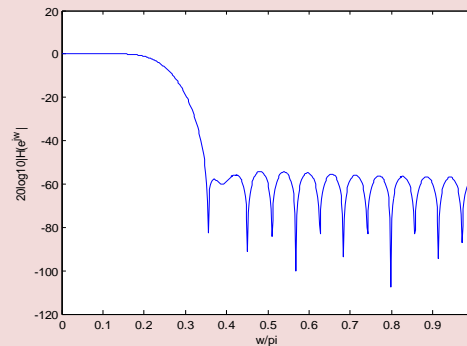
汉明(Hamming)窗 (改进升余弦窗)



(a)长度为35的汉明窗



(b)汉明窗的幅度响应



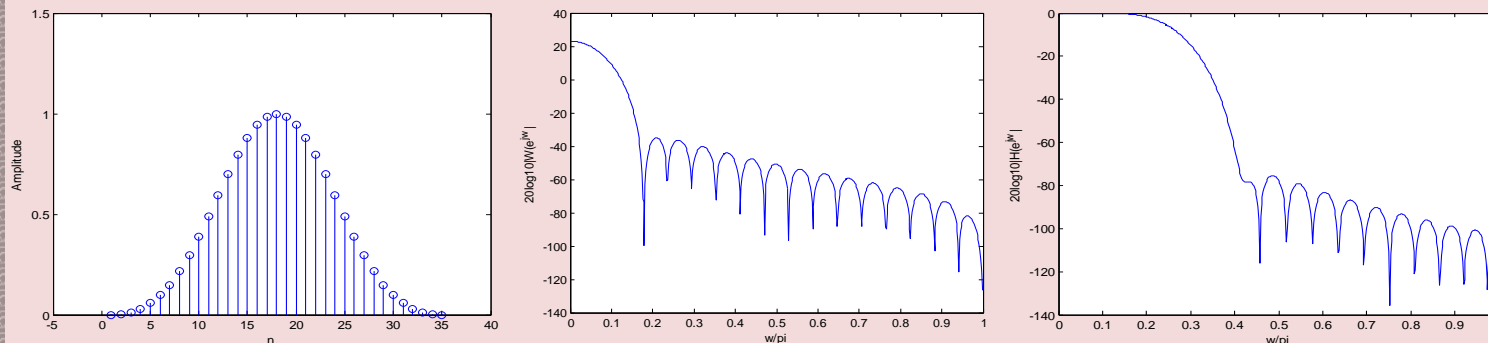
(c)滤波器的形状

$$w(n) = 0.54 - 0.46 \cos\left(\frac{2\pi n}{N}\right), \quad n = 0, 1, \dots, N-1$$

$$\text{或} \quad w(n) = 0.54 + 0.46 \cos\left(\frac{2\pi n}{N}\right), \quad n = -\frac{N}{2}, \dots, 0, \dots, \frac{N}{2}$$

$$W(e^{j\omega}) = 0.54U(\omega) + 0.23U\left(\omega - \frac{2\pi}{N}\right) + 0.23U\left(\omega + \frac{2\pi}{N}\right)$$

布莱克曼(Blackman)窗



(a)长度为35的布莱克曼窗 (b)布莱克曼窗的幅度响应 (c)滤波器的形状

$$w(n) = 0.42 - 0.5 \cos\left(\frac{2\pi n}{N}\right) + 0.08 \cos\left(\frac{4\pi n}{N}\right), \quad n = 0, 1, \dots, N-1$$

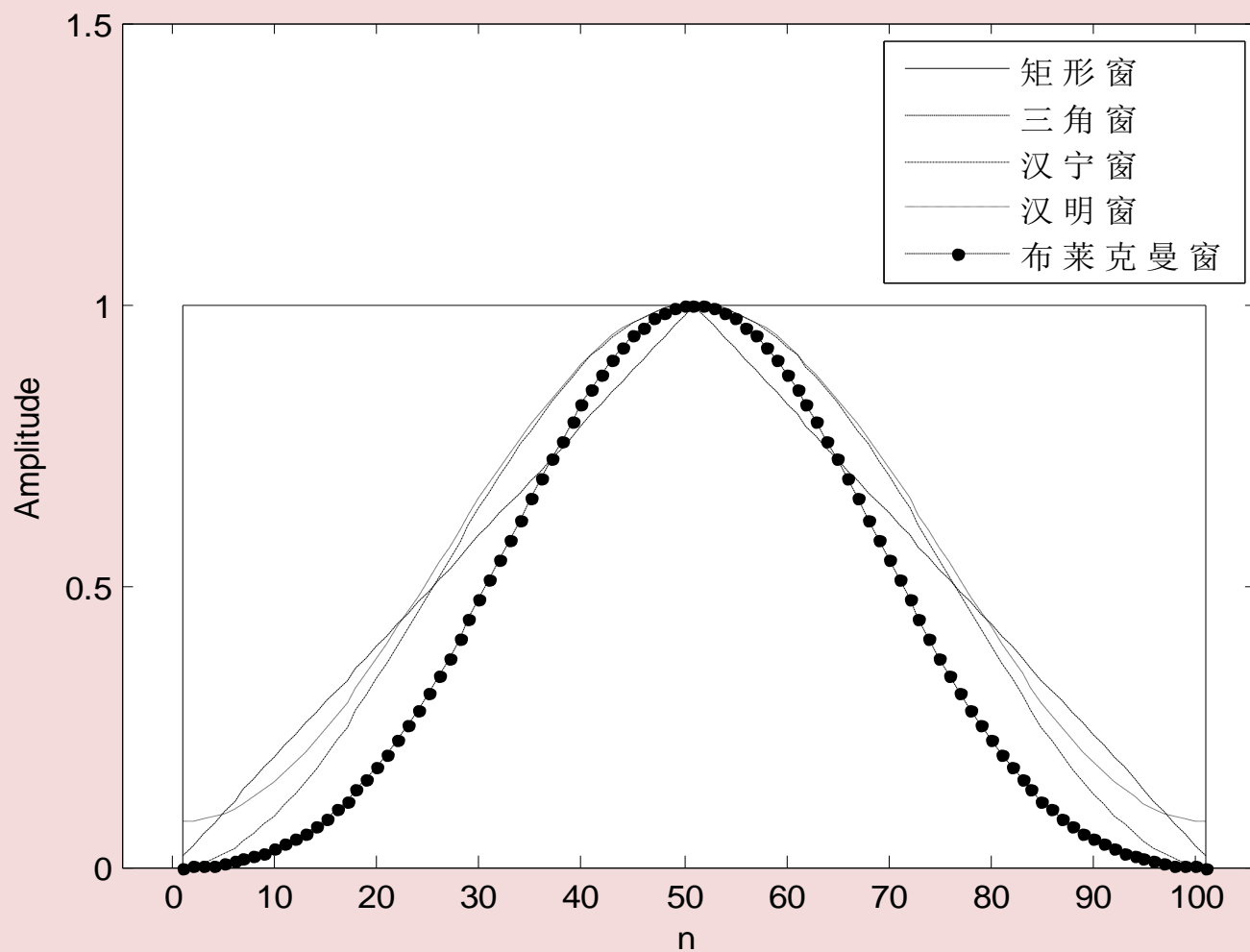
$$\text{或 } w(n) = 0.42 - 0.5 \cos\left(\frac{2\pi n}{N}\right) + 0.08 \cos\left(\frac{4\pi n}{N}\right), \quad n = -\frac{N}{2}, \dots, 0, \dots, \frac{N}{2}$$

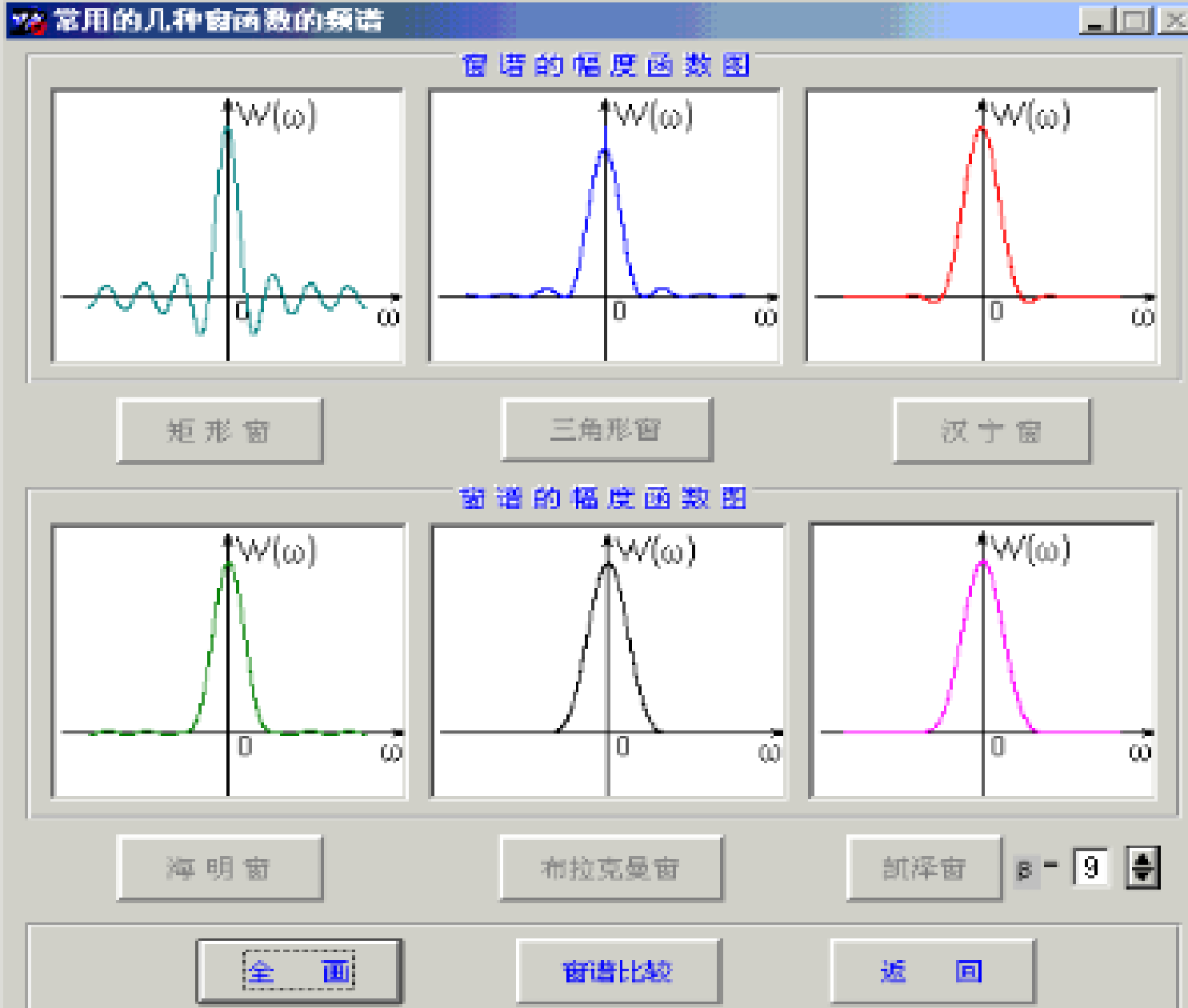
$$W(e^{j\omega}) = 0.42U(\omega) + 0.25\left[U\left(\omega - \frac{2\pi}{N}\right) + U\left(\omega + \frac{2\pi}{N}\right)\right] + 0.04\left[U\left(\omega - \frac{4\pi}{N}\right) + U\left(\omega + \frac{4\pi}{N}\right)\right]$$

7.2.2 典型窗函数极其特性



◆ 不同窗函数的时域波形($N=101$)





常用的窗函数的幅频特性，注意过渡带宽和最小阻带衰减



滤波器阶数(长度) N 的选择

窗名称	近似过渡带宽	精确过渡带宽	最小阻带衰减
矩形	$4\pi/N$	$1.8\pi/N$	21dB
巴特利特	$8\pi/N$	$6.1\pi/N$	25dB
汉宁	$8\pi/N$	$6.2\pi/N$	44dB
哈明	$8\pi/N$	$6.6\pi/N$	51dB
布莱克曼	$12\pi/N$	$11\pi/N$	74dB

取Kaiser窗时设定beta,再用**kaiserord**函数求得 N



第7章 FIR数字滤波器的设计

◆ 7.1 线性相位FIR滤波器的条件及特点

- 7.1.1 线性相位FIR滤波器
- 7.1.2 线性相位条件
- 7.1.3 线性相位FIR滤波器幅度特性
- 7.1.4 线性相位FIR滤波器零点分布

◆ 7.2 FIR滤波器的窗函数设计法

- 7.2.1 窗函数设计法的原理
- 7.2.2 典型窗函数及其特性
- 7.2.3 窗函数法设计FIR滤波器步骤

◆ 7.3 FIR滤波器的频率采样设计法

- 7.3.1 FIR滤波器频率采样法的原理
- 7.3.2 频率采样法的逼近误差分析



7.2.3 窗函数法设计FIR滤波器步骤

- ◆ 根据所需设计的数字滤波器类型（低通，高通，带通，带阻），**确定线性相位数字滤波器类型**(I , II, III, IV)
- ◆ **选择合适的窗函数 $w(n)$** ：根据滤波器阻带衰减 α_s 选择窗函数 $w(n)$ 的种类，然后根据滤波器过渡带宽度，确定所选窗函数的长度 N ，用窗函数设计的FIR数字滤波器的通带波纹幅度近似等于阻带波纹幅度。所以通常只考虑阻带最小衰减就可以
- ◆ **确定理想数字滤波器的频率响应函数**

$$H_d(e^{j\omega}) = H_d(\omega)e^{j\theta_d(\omega)}$$



对严格线性相位FIR数字滤波器 $\theta_d(\omega) = -\omega(N-1)/2$

对广义线性相位FIR数字滤波器 $\theta_d(\omega) = -\pi/2 - \omega(N-1)/2$

理想数字滤波器的截止频率 ω_c 近似为最终设计的FIR数字滤波器的过渡带中心频率，所以一般取 $\omega_c = (\omega_p + \omega_s)/2$ 。

ω_p 和 ω_s 分别为通带边界频率和阻带边界频率

◆ 计算理想数字滤波器的单位脉冲响应

$$h_d(n) = \frac{1}{2\pi} \int_{-\pi}^{\pi} H_d(e^{j\omega}) e^{j\omega n} d\omega$$

◆ 加窗得到设计结果

$$h(n) = h_d(n)w(n)$$



例7.2.1 用矩形窗、汉宁窗和布莱克曼窗设计FIR低通滤波器，设 $N=11$, $\omega_c=0.2\pi\text{rad}$

解：用理想低通作为逼近滤波器，按照(7.2.2)式，有

$$h_d(n) = \frac{\sin(\omega_c(n-\alpha))}{\pi(n-\alpha)}, 0 \leq n \leq 10, \alpha = \frac{1}{2}(N-1) = 5$$

用矩形窗设计：

$$h_d(n) = \frac{\sin(0.2\pi(n-5))}{\pi(n-5)}, 0 \leq n \leq 10$$

用汉宁窗设计：

$$h(n) = h_d(n)\omega_{Hn}(n), 0 \leq n \leq 10$$

$$\omega_{Hn}(n) = 0.5(1 - \cos \frac{2\pi n}{10})$$



例7.2.1 用矩形窗、汉宁窗和布莱克曼窗设计FIR低通滤波器，设 $N=11$, $\omega_c=0.2\pi\text{rad}$

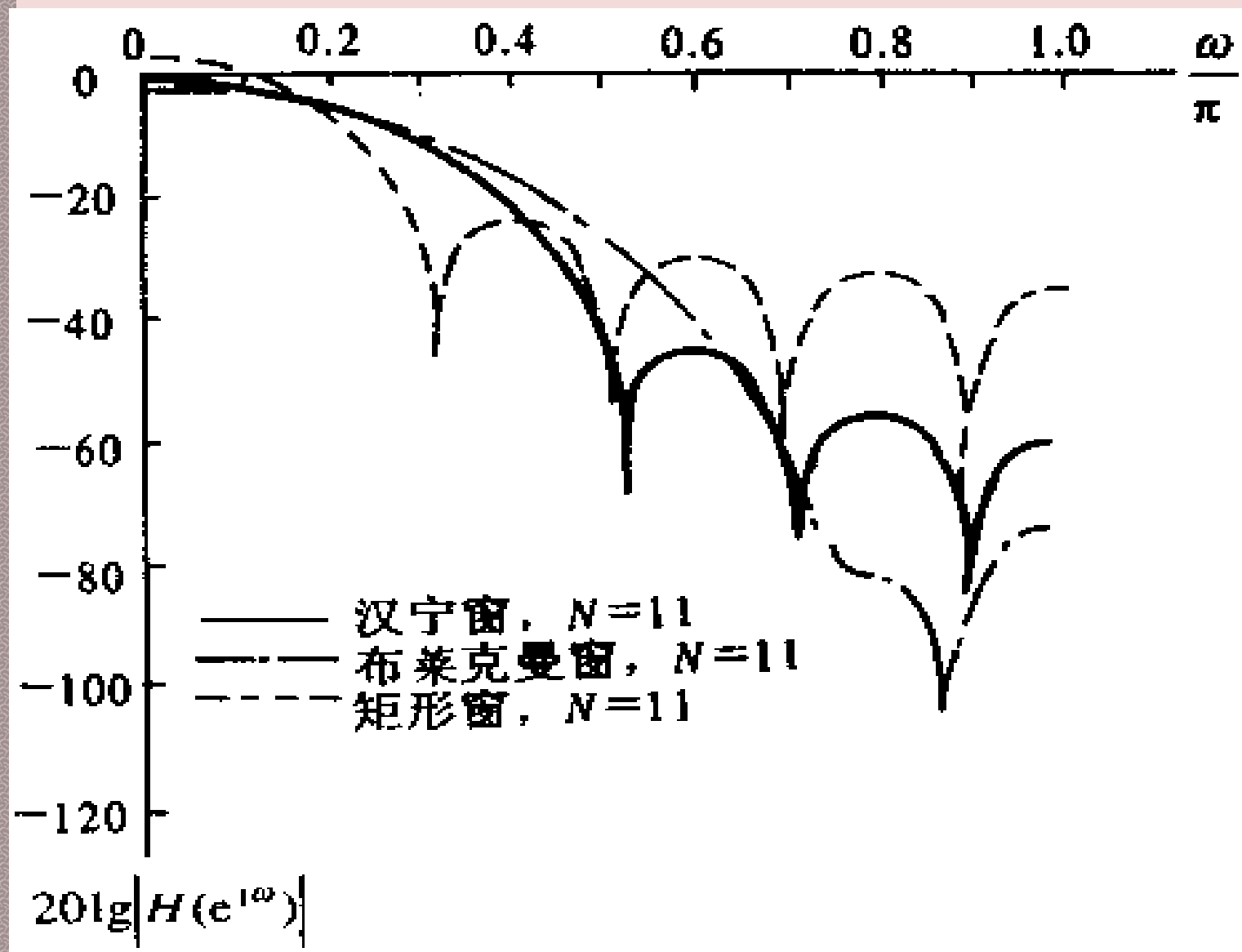
解：用理想低通作为逼近滤波器，按照(7.2.2)式，有

$$h_d(n) = \frac{\sin(\omega_c(n-\alpha))}{\pi(n-\alpha)}, 0 \leq n \leq 10, \alpha = \frac{1}{2}(N-1) = 5$$

用布莱克曼窗设计：

$$h(n) = h_d(n)\omega_{Bl}(n)$$

$$\omega_{Bl}(n) = (0.42 - 0.5\cos\frac{2\pi n}{10} + 0.08\cos\frac{2\pi n}{10})R_{11}(n)$$



例7.2.1的低通幅度特性



第7章 FIR数字滤波器的设计

◆ 7.1 线性相位FIR滤波器的条件及特点

- 7.1.1 线性相位FIR滤波器
- 7.1.2 线性相位条件
- 7.1.3 线性相位FIR滤波器幅度特性
- 7.1.4 线性相位FIR滤波器零点分布

◆ 7.2 FIR滤波器的窗函数设计法

- 7.2.1 窗函数设计法的原理
- 7.2.2 典型窗函数及其特性
- 7.2.3 窗函数法设计FIR滤波器步骤

◆ 7.3 FIR滤波器的频率采样设计法

- 7.3.1 FIR滤波器频率采样法的原理
- 7.3.2 频率采样法的逼近误差分析



7.3.1 FIR滤波器频率采样法的原理

根据频域采样定理，一个长度为 M 的有限长序列，可通过其频谱函数的 $N \geq M$ 点等间隔采样值准确的恢复原信号。设待设计的滤波器的传输函数用 $H_d(e^{j\omega})$ 表示，对它在 $\omega=0\sim 2\pi$ 之间等间隔采样 N 点，得到 $H_d(k)$

$$H_d(k) = H_d(e^{j\omega}) \Big|_{\omega=\frac{2\pi}{N}k}, k = 0, 1, 2, \dots, N-1 \quad (7.3.1)$$

再对 N 点 $H_d(k)$ 进行IDFT，得到 $h(n)$ ，即为所设计的滤波器的单位取样响应

$$h(n) = \frac{1}{N} \sum_{k=0}^{N-1} H_d(k) e^{j\frac{2\pi}{N}kn}, k = 0, 1, 2, \dots, N-1 \quad (7.3.2)$$



根据频域采样定理，其系统函数 $H(z)$ 可写成

$$H(z) = \sum_{n=0}^{N-1} h(n) z^{-n} \quad (7.3.3), \text{ 直接型结构}$$

$$= \frac{1 - z^{-N}}{N} \sum_{k=0}^{N-1} \frac{H_d(k)}{1 - e^{j\frac{2\pi}{N}k} z^{-1}} \quad (7.3.4), \text{ 频率采样}$$

$$H(e^{j\omega}) = \sum_{k=0}^{N-1} H(k) \Phi(\omega - \frac{2\pi}{N} k)$$

内插函数

$$\Phi(\omega) = \frac{1}{N} \frac{\sin(\omega N / 2)}{\sin(\omega / 2)} e^{-j\omega \frac{N-1}{2}}$$



◆ 下面讨论两个问题:

- 如何实现线性相位?
- 如何减小逼近误差?



用频率采样法设计线性相位滤波器的条件

线性相位FIR滤波器的条件： $h(n)$ 是实序列，且满足
 $h(n)=h(N-n-1)$ ，在此基础上我们已推导出其传输函数
应满足的条件是：

$$H_d(e^{j\omega}) = H_g(\omega)e^{j\theta(\omega)} \quad (7.3.5)$$

其中：

$$\theta(\omega) = -\frac{N-1}{2}\omega \quad (7.3.6)$$

$$H_g(\omega) = H_g(2\pi - \omega), \quad N = \text{奇数} \quad (7.3.7)$$

$$H_g(\omega) = -H_g(2\pi - \omega), \quad N = \text{偶数}$$



在 $\omega=0\sim 2\pi$ 之间等间隔采样 N 点,

$$\omega_k = \frac{2\pi}{N}k, k = 0, 1, 2, \dots, N-1$$

将 $\omega=\omega_k$ 代入并写成 k 的函数, 得:

$$H_d(k) = H_g(k)e^{j\theta(k)} \quad (7.3.8)$$

$$\theta(k) = -\frac{N-1}{2} \frac{2\pi}{N} k = -\frac{N-1}{N} \pi k \quad (7.3.9)$$

$$H_g(k) = H_g(N-k), N = \text{奇数} \quad (7.3.10)$$

$$H_g(k) = -H_g(N-k), N = \text{偶数} \quad (7.3.11)$$



第7章 FIR数字滤波器的设计

◆ 7.1 线性相位FIR滤波器的条件及特点

- 7.1.1 线性相位FIR滤波器
- 7.1.2 线性相位条件
- 7.1.3 线性相位FIR滤波器幅度特性
- 7.1.4 线性相位FIR滤波器零点分布

◆ 7.2 FIR滤波器的窗函数设计法

- 7.2.1 窗函数设计法的原理
- 7.2.2 典型窗函数及其特性
- 7.2.3 窗函数法设计FIR滤波器步骤

◆ 7.3 FIR滤波器的频率采样设计法

- 7.3.1 FIR滤波器频率采样法的原理
- 7.3.2 频率采样法的逼近误差分析



7.3.2 频率采样法的逼近误差分析

◆由前述推导可知, $H(e^{j\omega})$ 和 $H(k)$ 满足如下关系:

$$H(e^{j\omega}) = \sum_{k=0}^{N-1} H(k) \Phi(\omega - \frac{2\pi}{N}k) \quad \text{内插函数}$$

$$\Phi(\omega) = \frac{1}{N} \frac{\sin(\omega N / 2)}{\sin(\omega / 2)} e^{-j\omega \frac{N-1}{2}} \quad \omega = \frac{2\pi}{N}i, \quad i = 0, 1, \dots, N-1$$

$$\Phi_k(e^{j\frac{2\pi}{N}i}) = \begin{cases} 1 & i = k \\ 0 & i \neq k, i = 0, 1, \dots, N-1 \end{cases}$$

频率响应函数 $H(e^{j\omega})$ 在各采样点上就等于 $H(k)$, 而各采样点之间的 $H(e^{j\omega})$ 值, 则是由 N 个采样值的内插函数叠加而成的, 因而有一定的逼近误差, 误差大小取决于理想频率响应的曲线形状



7.3.2 频率采样法的逼近误差分析

◆ 内插公式表明

- 在每个采样点上, $H(e^{j\omega_k}) = H(k)$ 逼近误差为零, 频响 $H(e^{j\omega})$ 严格地与理想频响的采样值 $H(k)$ 相等
- 在采样点之间, 频响由各采样点的内插函数延伸迭加而形成, 因而有一定的逼近误差, 误差大小与理想频率响应的曲线形状有关, 理想特性平滑, 则误差小; 反之, 误差大在理想频率响应的不连续点附近, $H(e^{j\omega})$ 会产生肩峰和波纹
- N 增大, 则采样点变密, 逼近误差减小

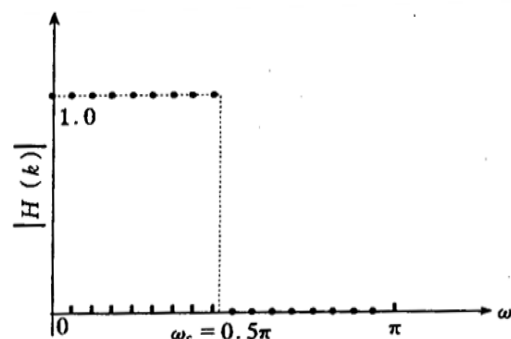


频率采样法的改进措施

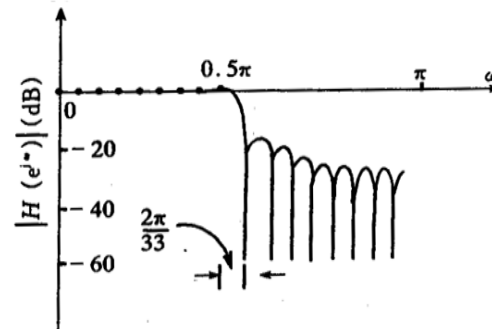
- ◆ 在为减小逼近误差，类似于窗函数法的加窗平滑截断，可以使希望逼近的幅度特性 $H_d(\omega)$ 从通带比较平滑的过渡到阻带，消除阶跃突变，从而使逼近误差减小
- ◆ 这相当于设置了 $H_d(\omega)$ 的过渡带，其实质是对幅度采样 H_k 设置了过渡带的采样点，以加宽过渡带为代价换取通带和阻带内波纹幅度的减小
- ◆ 过渡带宽 ΔB 与滤波器长度 N 须满足下式

$$N \geq (m + 1)2\pi / \Delta B$$

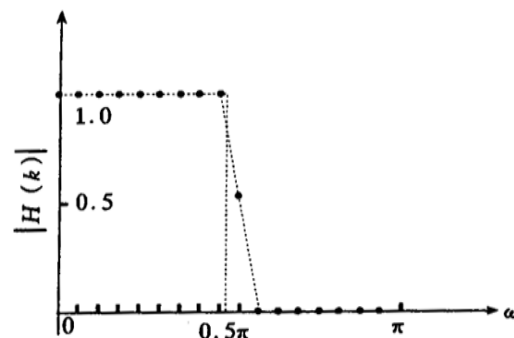
m 过渡带的采样点数



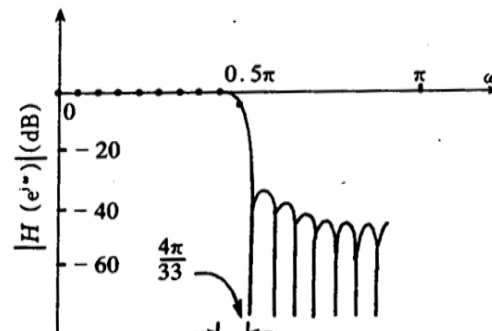
(a) 过渡带不设采样点



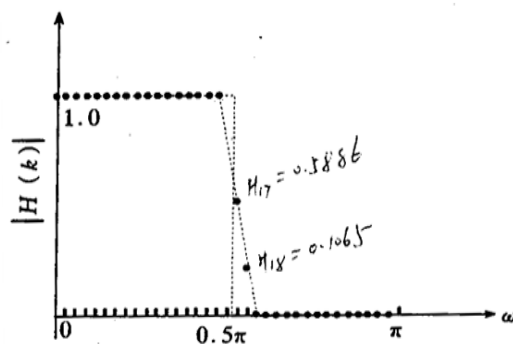
(b) 对应于(a)的实际频响



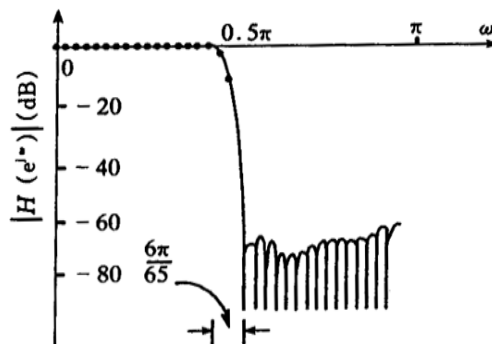
(c) 过渡带设一个采样点



(d) 对应于(c)的实际频响



(e) 过渡带设两个采样点，
总采样点数 N 提高一倍



(f) 对应于(e)的实际频响

过渡采样点不同的三个FIR滤波器设计实例

频率采样法的设计步骤



- ◆ 根据阻带最小衰减 α , 确定过渡带采样点的个数 m
- ◆ 根据过渡带宽度 ΔB 的要求, 估算滤波器的长度 N
- ◆ 构造希望逼近滤波器的频率响应函数

$$H_d(e^{j\omega}) = H_d(\omega)e^{j\theta(\omega)}$$

- ◆ 对 $H_d(e^{j\omega_k})$ 进行等间隔采样得到 $H(k)$;
- ◆ 对 $H(k)$ 进行IDFT, 得到 $h(n)$, 对 $h(n)$ 做Z变换得 $H(Z)$
- ◆ 对设计结果进行检验。调整过渡带上的采样点数或
- ◆ $H_d(e^{j\omega})$ 的截止频率直到达到要求为止

频率采样法小结



◆ 频域采样法

- 优点：直接从频域设计，较直观，适合设计具有任意幅度特性的滤波器
- 缺点：边界频率不易控制；（增加采样点数 N ，对控制截止频率有利，但是系统复杂度增加）